

Экспериментальные задачи по физике

М.ЖУЖА, Е.ЖУЖА, Н.ЧЕРНАЯ

КАК ИЗВЕСТНО, НЕКОТОРЫЕ ПРОСТИЕ ОПЫТЫ МОЖНО выполнять и в домашних условиях. Ниже приводятся несколько таких экспериментальных задач (с возможными решениями), которые были составлены для учащихся Центра дополнительного образования детей города Краснодара.

Задача 1. Карандаш

Оцените механическую работу, которую необходимо совершить для того, чтобы равномерно поднять плавающий в сосуде карандаш до уровня касания нижним его торцом поверхности воды. Считайте положение карандаша вертикальным. Плотность воды $\rho_0 = 1000 \text{ кг/м}^3$.

Оборудование: круглый карандаш, почти полная бутылка с водой, линейка.

Решение. Опускаем карандаш в бутылку – он будет плавать, как поплавок (рис.1). Пусть L – длина всего карандаша, V – его объем, h – длина погруженной в воду части карандаша, V_1 – ее объем, S – площадь сечения и d – диаметр карандаша. Найдем среднюю плотность карандаша ρ из условия плавания тела:

$$\rho_0 g S h = \rho g S L, \text{ откуда } \rho = \rho_0 \frac{h}{L}.$$

Предположим, что мы с постоянной скоростью вытаскиваем карандаш из воды, используя динамометр. Когда карандаш свободно плавает, динамометр показывает ноль. Если же карандаш полностью вытащить из воды, то динамометр покажет силу, равную весу P карандаша:

$$F = P = mg = \rho g V = \rho_0 \frac{h}{L} g S L = \rho_0 h g \frac{\pi d^2}{4}.$$

Получается, что показания динамометра при вытаскивании карандаша из воды изменяются от 0 до P по линейному закону (рис.2). При этом механическая работа A будет равна площади выделенного треугольника:

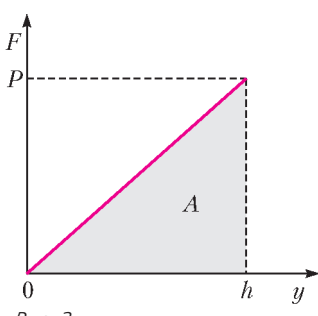


Рис. 2

$$A = \frac{1}{2} P h = \frac{\rho_0 h^2 g \pi d^2}{8}.$$

Например, при $h = 13,4 \text{ см}$ и $d = 7,5 \text{ мм}$ работа составляет около 0,004 Дж.

Задача 2. Сплав

Определите процентное содержание (по массе) олова в оловянно-свинцовом припое. Предположите, что объемы

свинца и олова в сплаве сохраняются. Плотность свинца $\rho_c = 11350 \text{ кг/м}^3$, олова $\rho_o = 7300 \text{ кг/м}^3$.

Оборудование: линейка, груз (гайка), цилиндрический кусок припоя, штангенциркуль или микрометр.

Решение. Эта задача аналогична задаче Архимеда по определению доли золота в царской короне. Однако для опытов оловянно-свинцовому припой достать проще, чем корону.

Измерив диаметр куска припоя D и его длину L , найдем объем цилиндрического куска припоя:

$$V = \frac{\pi D^2 L}{4}.$$

Массу припоя определим, изготовив рычажные весы. Для этого уравновесим линейку на краю стола (на карандаше, на стержне от шариковой ручки и т.п.). Затем, используя гайку известной массы, уравновесим кусок припоя на линейке и с помощью равенства моментов сил найдем массу припоя m . Запишем очевидные равенства для масс, объемов и плотностей свинца и олова:

$$m = m_c + m_o = \rho_c V_c + \rho_o V_o, \quad V = V_c + V_o.$$

Решая эти уравнения совместно, найдем объем олова, его массу и долю в общей массе:

$$V_o = \frac{\rho_c V - m}{\rho_c - \rho_o}, \quad m_o = \rho_o V_o, \quad \frac{m_o}{m} = \frac{\rho_o V_o}{m}.$$

Задача 3. Поверхностное натяжение

Определите коэффициент поверхностного натяжения воды.

Оборудование: тарелка, вода, ложка, линейка, кусок ровной алюминиевой проволоки длиной 15–20 см и плотностью 2700 кг/м^3 , микрометр, спирт, вата.

Решение. Нальем почти полную тарелку воды. Положим на край тарелки проволоку так, чтобы один конец ее касался воды, а другой был за пределами тарелки. Проволока выполняет две функции: она является рычажными весами и аналогом проволочной рамки, которую обычно вытаскивают из воды для измерения поверхностного натяжения. В зависимости от уровня воды могут наблюдаться различные положения проволоки. Наиболее удобно для расчетов и измерений горизонтальное расположение проволоки при уровне воды на 1–1,5 мм ниже края тарелки (рис.3). С помощью ложки можно регулировать уровень, доливая или отливая воду. Проволоку следует выдвигать из тарелки до тех пор, пока пленка воды под проволокой не начнет разрываться. В этом крайнем положении пленка имеет высоту 1,5–2 мм, и можно сказать, что силы поверхностного натяжения, приложенные к проволоке, направлены практически вертикально вниз.

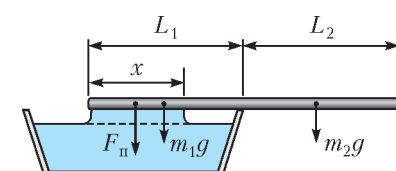


Рис. 3

Пусть m – масса проволоки, $L = L_1 + L_2$ – длина проволоки, m/L – масса единицы длины проволоки. Запишем условие равновесия проволоки относительно края тарелки, т.е. равенство моментов сил:

$$F_n \left(L_1 - \frac{x}{2} \right) + m_1 g \frac{L_1}{2} = m_2 g \frac{L_2}{2}.$$

Подставим сюда силу поверхностного натяжения $F_n = 2x\sigma$, массы: $m_1 = \frac{L_1 m}{L}$, $m_2 = \frac{L_2 m}{L}$, $m = \rho V = \frac{\rho \pi d^2 L}{4}$ и выразим коэффициент поверхностного натяжения σ . Измерения и

вычисления упростятся, если вода будет смачивать всю длину L_1 . Окончательно получим

$$\sigma = \frac{\rho \pi d^2 g}{8} \left(\left(\frac{L}{L_1} - 1 \right)^2 - 1 \right).$$

Величины L и L_1 измеряются линейкой, а диаметр проволоки d – микрометром.

Например, при $L = 15$ см, $L_1 = 5,4$ см, $d = 1,77$ мм получаем $\sigma = 0,0703$ Н/м, что близко к табличному значению 0,0728 Н/м.

Задача 4. Влажность воздуха

Определите относительную влажность воздуха в комнате.

Оборудование: стеклянный комнатный термометр, бытовой холодильник, таблица давлений насыщенных паров воды при различных температурах.

Решение. При обычном методе измерения влажности объект охлаждают ниже точки росы и он «запотевает». Сделаем наоборот. Температура в холодильнике (около +5 °С) намного ниже точки росы для комнатного воздуха. Поэтому, если вытащить охлажденный стеклянный термометр из холодильника, то он сразу «запотеет» – стеклянный корпус станет непрозрачным от влаги. Затем термометр начнет нагреваться, и в какой-то момент сконденсировавшаяся влага на нем испарится – стекло станет прозрачны. Это и есть температура точки росы, по которой с помощью таблицы можно рассчитать относительную влажность.

Задача 5. Испарение

Налейте почти полный стакан воды и поставьте его в комнате в теплое место – для того чтобы вода быстрее испарялась. Измерьте линейкой начальный уровень воды и запишите время начала опыта. Через несколько дней уровень воды понизится за счет испарения. Измерьте новый уровень воды и запишите время окончания опыта. Определите массу испарившейся воды. Сколько в среднем молекул вылетело с поверхности воды за 1 секунду? Сколько приблизительно молекул находится на поверхности воды в стакане? Сравните эти два числа. Диаметр молекулы воды примите равным $d_0 = 0,3$ нм. Зная удельную теплоту парообразования, определите скорость передачи тепла (Дж/с) воде от окружающей среды.

Решение. Пусть d – внутренний диаметр стакана, ρ – плотность воды, M – молярная масса воды, r – удельная теплота парообразования, Δh – понижение уровня воды за время t . Тогда масса испарившейся воды равна

$$m = \rho V = \rho \Delta h S = \frac{\rho \Delta h \pi d^2}{4}.$$

В этой массе содержится $N = m N_A / M$ молекул, где N_A – постоянная Авогадро. Число испарившихся за 1 секунду молекул равно

$$N_1 = \frac{N}{t} = \frac{m N_A}{M t}.$$

Если $S = \pi d^2 / 4$ – площадь поверхности воды в стакане, а $S_0 = \pi d_0^2 / 4$ – площадь сечения одной молекулы, то на поверхности воды в стакане находится приблизительно

$$N_2 = \frac{S}{S_0} = \left(\frac{d}{d_0} \right)^2 \text{ молекул.}$$

Вода для испарения получает в единицу времени количество теплоты

$$\frac{Q}{t} = \frac{rm}{t}.$$

Если производить какие-либо расчеты, связанные с молекулами, то всегда получаются интересные результаты. Например, пусть за время $t = 5$ суток в стакане диаметром $d = 65$ мм уровень воды понизился на $\Delta h = 1$ см. Тогда получим, что в пар превратилось 33 г воды, за 1 с испарились $N_1 = 2,56 \cdot 10^{18}$ молекул, на поверхности воды в стакане находилось $N_2 = 4,69 \cdot 10^{16}$ молекул, а из окружающей среды поступило 0,19 Вт тепла. Интересным является отношение $N_1/N_2 \approx 54$, из которого видно, что за 1 с испарялось столько молекул, сколько помещалось в стакане в 54 слоях воды.

Задача 6. Растворение

Высыпая соль или сахар в кипящую воду, можно заметить, что кипение ненадолго прекращается за счет снижения температуры воды. Определите количество теплоты, необходимое для растворения 1 кг пищевой соды в воде комнатной температуры.

Оборудование: самодельный калориметр, термометр, вода, сода, мерный цилиндр (стакан), груз известной массы (гайка массой 10 г), пластиковая ложка.

Решение. В задачу входит дополнительное конструкторское задание по изготовлению простого самодельного калориметра. Для внутреннего сосуда калориметра следует взять обычную алюминиевую банку объемом 0,33 л. У банки удаляется верхняя крышка так, чтобы получился алюминиевый стакан (массой всего 12 г) с жестким верхним ободком. Внутри верхнего ободка делается прорезь для того, чтобы вода полностью выливалась из банки. Внешняя пластмассовая оболочка изготавливается на основе пластиковой бутылки объемом 1,5 л. Бутылка разрезается на три части, верхняя часть удаляется, а средняя и нижняя части с некоторым усилием вставляются друг в друга и плотно фиксируют внутреннюю алюминиевую банку в вертикальном положении. (Если нет калориметра, то опыты можно проводить и в одноразовом пластиковом стаканчике, массой и теплопередачей которого можно пренебречь.)

Предварительно следует сделать два измерения: 1) определить, сколько соды помещается в ложку (для этого надо заглянуть в кулинарный справочник или «вычерпать» этой ложкой пакет соды известной массы); 2) определиться с количеством воды – в малом количестве воды раствор сразу же станет насыщенным и часть соды не растворится, в большом количестве воды температура изменится на доли градуса, что затруднит измерения.

Очевидно, что количество теплоты, необходимое для растворения вещества, пропорционально массе этого вещества: $Q \sim m$. Для записи равенства следует ввести коэффициент пропорциональности, например z , который можно назвать «удельной теплотой растворения». Тогда

$$Q = zm.$$

Растворение соды осуществляется за счет энергии, выделяющейся при охлаждении сосуда с водой. Величина z находится из следующего уравнения теплового баланса:

$$m_b c_b (t_2 - t_1) + m_a c_a (t_2 - t_1) = zm,$$

где m_b – масса воды в калориметре, m_a – масса внутреннего алюминиевого стакана калориметра, m – масса растворенной соды, $(t_2 - t_1)$ – понижение температуры в калориметре. Массу внутреннего сосуда калориметра можно легко найти, используя правило моментов сил, уравновесив сосуд и груз известной массы при помощи линейки и ниток.

Измерения и расчеты показывают, что при $m = 6$ г и $m_b = 100$ г вода остывает на 2–2,5 °С, а величина z оказывается равной 144–180 кДж/кг.

Электрические колебания в нестандартных контурах

В. МУРАВЬЕВ

В школе обычно рассматриваются колебания идеального контура (рис.1). При этом не учитывается активное сопротивление катушки индуктивности и считается, что конденсатор представляет собой две пластины, разделенные диэлектриком, не проводящим электрический ток.

Уравнение собственных колебаний такого контура имеет вид

$$q'' + \frac{1}{LC} q = 0,$$

где q – заряд конденсатора, L и C – индуктивность катушки и емкость конденсатора соответственно. Решением этого уравнения

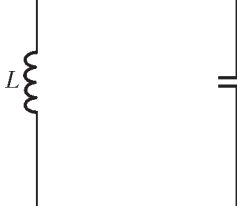


Рис. 1

является функция

$$q = q_m \cos(\omega t + \phi),$$

где $\omega = \frac{1}{\sqrt{LC}}$ – циклическая частота, ϕ – начальная фаза, q_m – амплитуда колебаний заряда на конденсаторе.

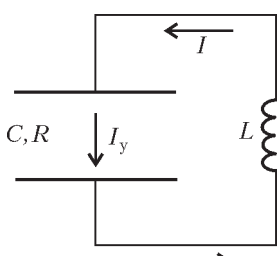
Однако иногда роль конденсатора и катушки играют другие системы проводящих тел, а у реальных конденсаторов среда между обкладками обладает конечным сопротивлением. К рассмотрению колебаний в контурах с такими катушками и конденсаторами мы и переходим.

Задача 1. Колебательный контур содержит конденсатор с «утечкой». Это значит, что небольшая часть заряда, поступающего на одну из обкладок конденсатора, проходит через диэлектрик на другую обкладку. Емкость конденсатора C , сопротивление среды между пластинами конденсатора R , индуктивность катушки L . Пренебрегая сопротивлением катушки и соединительных проводов, выведите уравнение свободных колебаний контура. Найдите период этих колебаний.

На рисунке 2 изображен рассматриваемый в задаче нестандартный контур, где I – ток, текущий через катушку, I_y – ток утечки конденсатора. Приравнивая напряжение на конденсаторе к ЭДС самоиндукции катушки, получаем

$$U = -L \frac{dI}{dt} = -LI'.$$

Рис. 2



Заряд конденсатора связан с напряжением на нем известным соотношением

$$Q = CU.$$

Согласно закону сохранения заряда,

$$Q' = I - I_y.$$

По закону Ома,

$$U = I_y R.$$

Из полученных соотношений находим уравнение свободных колебаний:

$$Q'' + \frac{1}{RC} Q' + \frac{1}{LC} Q = 0.$$

Из этого уравнения видно, что при больших R получается рассмотренное выше уравнение гармонических колебаний идеального контура с частотой $\omega_0 = \frac{1}{\sqrt{LC}}$. В остальных случаях наше уравнение описывает затухающие колебания. Решением этого уравнения является функция

$$Q = Q_m e^{-\delta t} \cos(\omega t + \phi),$$

где

$$\delta = \frac{1}{2RC}, \quad \omega^2 = \omega_0^2 - \delta^2.$$

В этом можно убедиться методом подстановки.

Итак, в рассматриваемом контуре происходят свободные колебания с периодом

$$T = \frac{2\pi}{\omega} = \frac{2\pi}{\sqrt{\omega_0^2 - \delta^2}},$$

несколько большем, чем период собственных колебаний в идеальном контуре. Такие затухающие колебания имеют место при условии, что $\omega_0^2 > \delta^2$, т.е. $R > \frac{1}{2} \sqrt{\frac{L}{C}}$. А вот при

$R \gg \frac{1}{2} \sqrt{\frac{L}{C}}$ проводимостью конденсатора можно пренебречь и считать колебательный контур идеальным.

Задача 2. Проводящий шар радиусом r через катушку индуктивностью L соединен с землей (рис.3). Из бесконечности на него налетает пучок электронов. Определите максимальный заряд шара и нарисуйте график зависимости силы тока, текущего через катушку, от времени. Изначально шар заряжен не был, концентрация электронов в налетающем пучке n , а их скорость $v \ll c$, где c – скорость света.

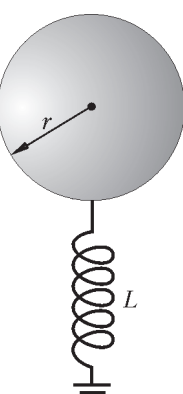
Пусть Q – заряд шара в некоторый момент времени, I – ток, стекающий с шара. Тогда можно записать уравнение

$$L \frac{dI}{dt} = \frac{Q}{4\pi\epsilon_0 r}.$$

Рис. 3

Приращение заряда шара равно $dQ = dQ_n + dQ_L$, где $dQ_n = ne\pi r^2 v dt$ – приращение за счет налетающего электронного пучка, $dQ_L = -Idt$ – заряд, стекающий через катушку. Таким образом,

$$dQ = ne\pi r^2 v dt - Idt.$$



Дифференцируя это выражение по времени, с учетом первого уравнения получим

$$Q'' = -\frac{1}{4\pi\epsilon_0 r L} Q.$$

Это уравнение описывает гармонические колебания с частотой $\omega = \frac{1}{\sqrt{4\pi\epsilon_0 r L}}$. В начальный момент (при $t = 0$) $Q = 0$ и $\frac{dQ}{dt} = ne\pi r^2 v$, откуда

$$Q = Q_{\max} \sin \omega t,$$

где максимальный заряд шара есть

$$Q_{\max} = ne\pi r^2 v \sqrt{4\pi\epsilon_0 r L}.$$

Дифференцируя полученную функцию $Q(t)$ по времени, найдем ток, текущий через катушку:

$$I = ne\pi r^2 v (1 - \cos \omega t).$$

График этой функции изображен на рисунке 4, где

$$T = \frac{2\pi}{\omega} = 2\pi\sqrt{4\pi\epsilon_0 r L} \text{ и } I_m = ne\pi r^2 v.$$

В рассмотренном контуре конденсатор представляет собой проводящий шар. Емкость этого конденсатора равна

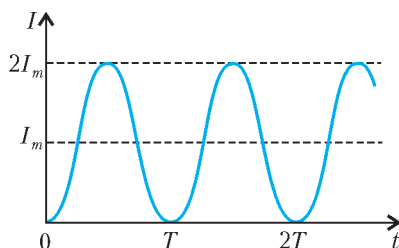


Рис. 4

$C = 4\pi\epsilon_0 r$, поэтому полученную формулу для периода колебаний можно представить в обычном виде:

$$T = 2\pi\sqrt{4\pi\epsilon_0 r L} = 2\pi\sqrt{LC}.$$

Заметим, что в идеальном колебательном контуре конденсатор заряжается и разряжается через катушку индуктивности, а здесь конденсатор разряжается через катушку, а заряжается посредством потока электронов.

Задача 3. С одной пластины изначально незаряженного конденсатора, соединенного с катушкой индуктивности, мгновенно отделяется заряд q , локализованный в тонком

слое вещества, и затем движется поступательно как единое целое с постоянной скоростью v по направлению к противоположной пластине. Найдите зависимость тока в цепи от времени, пока слой движется внутри конденсатора. Расстояние между пластинами конденсатора d , площадь пластин S , индуктивностью катушки L .

Пусть расстояние от левой обкладки конденсатора до отделившегося слоя в некоторый момент времени равно x (рис.5), а заряды левой и правой обкладок составляют q_1 и q_2 соответственно. Из закона сохранения заряда следует, что

$$-q = q_1 + q_2.$$

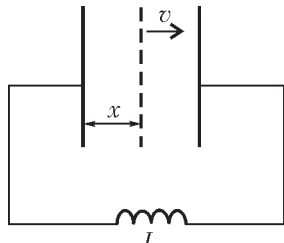


Рис. 5

Напряжение на конденсаторе равно

$$U = E_1 x + E_2 (d - x),$$

где

$$E_1 = \frac{q_1}{2\epsilon_0 S} - \frac{q_2}{2\epsilon_0 S} - \frac{q}{2\epsilon_0 S}$$

– напряженность электрического поля между заряженным слоем и левой обкладкой, а

$$E_2 = \frac{q_1}{2\epsilon_0 S} - \frac{q_2}{2\epsilon_0 S} + \frac{q}{2\epsilon_0 S}$$

– напряженность поля между слоем и правой обкладкой. Таким образом, получаем

$$U = \frac{q + 2q_1}{2\epsilon_0 S} d + \frac{q}{2\epsilon_0 S} (d - 2x).$$

Приравняем напряжение на конденсаторе к ЭДС самоиндукции катушки:

$$-L \frac{dI}{dt} = \frac{q + 2q_1}{2\epsilon_0 S} d + \frac{q}{2\epsilon_0 S} (d - 2x),$$

где I – ток текущий через катушку. Продифференцируем это уравнение по времени и, учитывая, что $v = x'$ и $I = q'_1$, найдем

$$LI'' = -\frac{Id}{\epsilon_0 S} + \frac{qv}{\epsilon_0 S},$$

или

$$I'' = -\frac{d}{\epsilon_0 SL} \left(I - \frac{qv}{d} \right).$$

Обозначим $y = I - \frac{qv}{d}$, тогда получим

$$y'' = -\frac{d}{\epsilon_0 SL} y.$$

Это знакомое нам уже уравнение гармонического осциллятора. Решением его является функция

$$I - \frac{qv}{d} = I_m \cos(\omega t + \phi), \text{ где } \omega^2 = \frac{d}{\epsilon_0 SL}.$$

Учитывая, что в начальный момент ($t = 0$) $I = 0$ и $L \frac{dI}{dt} = 0$, получаем, что $I_m = -\frac{qv}{d}$ и $\phi = 0$. Таким образом, при $t \leq \frac{d}{v}$ ток в цепи изменяется по закону

$$I(t) = \frac{qv}{d} (1 - \cos \omega t), \text{ где } \omega = \sqrt{\frac{d}{\epsilon_0 SL}}.$$

Заметим, что изменения тока со временем можно считать колебаниями, если $\frac{d}{v} > 2\pi\sqrt{\frac{\epsilon_0 SL}{d}}$. В рассматриваемом нестандартном контуре движение заряженного слоя с постоянной скоростью не влияет на период возникших колебаний, однако это движение вызывает эти колебания и определяет их амплитуду.

Задача 4. В плоский конденсатор емкостью C , последовательно соединенный с катушкой индуктивностью L , параллельно пластинам

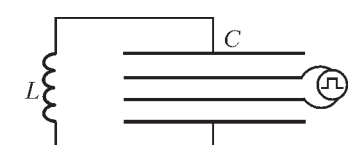


Рис. 6

вставляется конденсатор таких же поперечных размеров, но с меньшим расстоянием между обкладками (рис.6), подключенный к генератору импульсного напряжения, гра-

(Продолжение см. на с. 34)

«Невозможные» фигуры

В 1934 году из-под кисти шведского художника Оскара Реутерсварда (Oscar Reutersvard) вышло полотно, положившее начало новому направлению современного искусства с названием **imp-art** (от английских слов **impossible** – невозможный и **art** – искусство). В центре его внимания стало тонкое обыгрывание геометрических мотивов. Копия картины Реутерсварда изображена на рисунке 1. Присмотритесь внимательно: возможно ли такое расположение девяти кубов в пространстве?

Впоследствии Реутерсвард придумал около 2500 подобных сюжетов, изображающих необычное, парадоксальное, иллюзорное отображение трехмерного мира на двухмерный холст картины. В частности, в одном из своих сюжетов число кубов он довел до минимально возможного количества: трех (рис.2).

В 1954 году независимо от Реутерсварда английский математик и физик Роджер Пенроуз придумал объект, названный им «Невозможный треугольник» (рис.3). Если Реутерсвард все свои фигуры рисовал в изометрической проекции, которую он называл «японской», то в исходном треугольнике Пенроуза присутствовал некий эффект перспективы (ребра по каждой из трех сторон не были параллельны друг другу). Это еще более усиливает ощущение невозможности.

Дальнейшие модификации «треугольника» Пенроуза в сторону увеличения количества «сторон» показаны на рисунке 4.

Значительный вклад в искусство парадоксальных эффектов внесли художники Мауриц К. Эшер, Жос

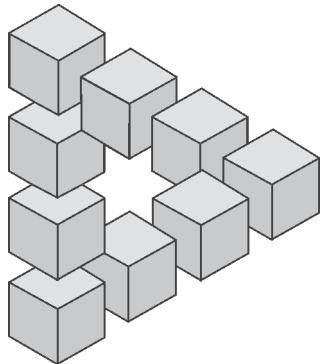


Рис. 1

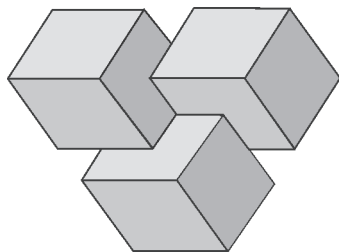


Рис. 2

и Влад Алексеев:

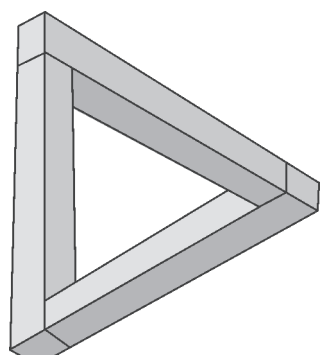


Рис. 3

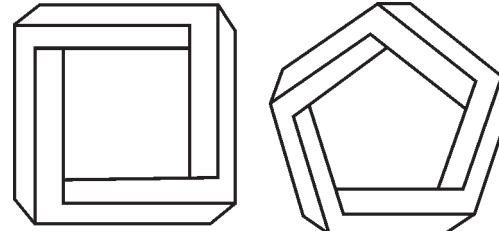


Рис. 4

де Мей, Сандро дель Пре, Иштван Орос, Висенте Мевилла Сегуи и другие. Их работы вызывают интерес не только у ценителей искусства, но и у математиков и психологов.

Вот еще несколько ярких образцов из обширной и постоянно пополняющейся коллекции «невозможных» фигур (рис. 5–7).

Оскар Реутерсвард:

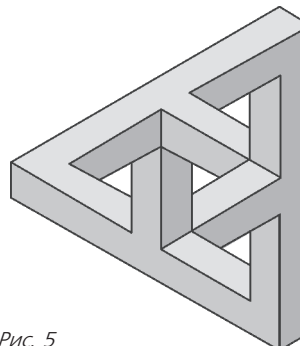


Рис. 5

Влад Алексеев:

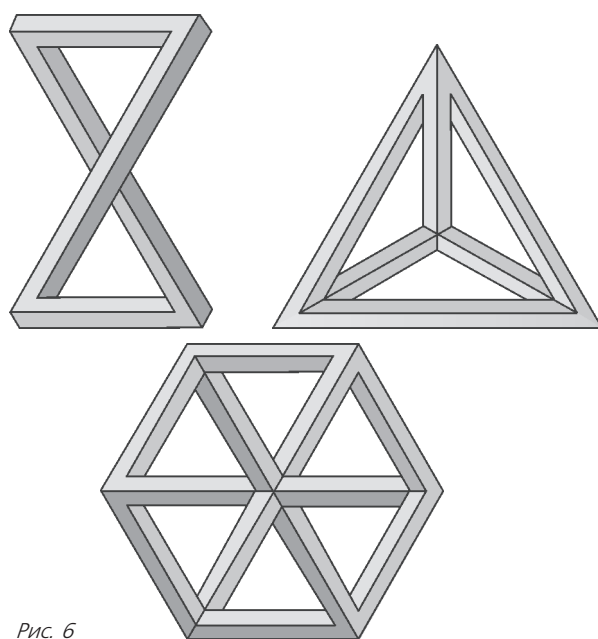


Рис. 6



Кокичи Сугихара:

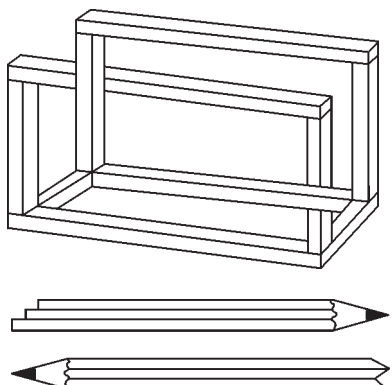


Рис. 7

В словосочетании «невозможные» фигуры первое слово взято в кавычки. Почему? Оказывается, «невозможные» объекты в нашем трехмерном мире вполне возможны, только выглядят они совсем не так, как нам диктуют наши стереотипы восприятия чертежей. Реальный объект — прототип иллюзии — может иметь разрывы, деформации, но с некоторой точки зрения это легко не заметить — и вот вам чудо во всей красе!

Трюк с разрывом использовали художник Брайан МакКей и архитектор Ахмад Абас, создавая архитектурную достопримечательность города Перта (Австралия). Алюминиевая конструкция с ребристой структурой высотой 13,5 метров (рис. 8) с определенной



Рис. 8

точки зрения выглядит как «невозможный треугольник» Пенроуза (рис. 9). Эти фотографии специально для журнала «Квант» сделала Анна Звонкова (Австралия).

Впрочем, не обязательно ехать в Австралию. Профессор математики из Токийского университета Кокичи Сугихара, автор оригинальных расчетных методик инженерной графики (www.simplex.t.u-tokyo.ac.jp/~sugihara), предлагает воплотить эту идею в бумаге. Для этого он рассчитал «выкройки» трех бумажных брусков, из которых склеивается удиви-

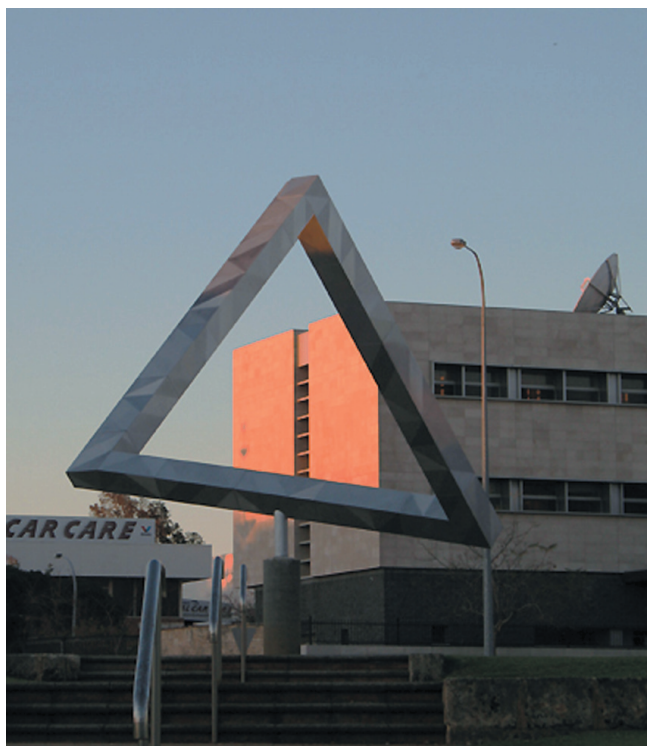


Рис. 9

тельная конструкция. Сосканируйте или сделайте ксерокопию приведенных на рисунке 10 чертежей, увеличьте их с помощью подходящего редактора

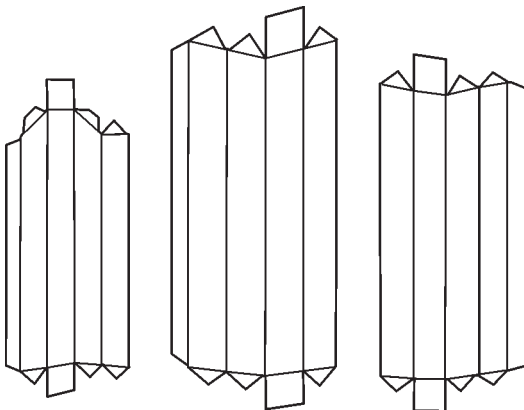


Рис. 10

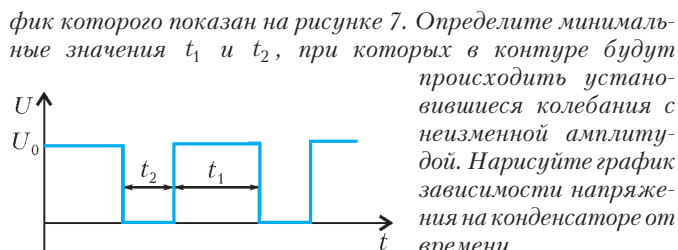
изображений (для этих целей, например, хорошо подходит программа Photoshop), распечатайте, а дальше призовите на помощь ножницы и клей. На склеенную модель рекомендуется смотреть одним глазом с расстояния, в 20 раз превышающего характерные размеры модели.

При подготовке этой статьи были использованы материалы сайта <http://im-possible.info>, а также книги Кокичи Сугихары «Восхищение невозможными объектами».

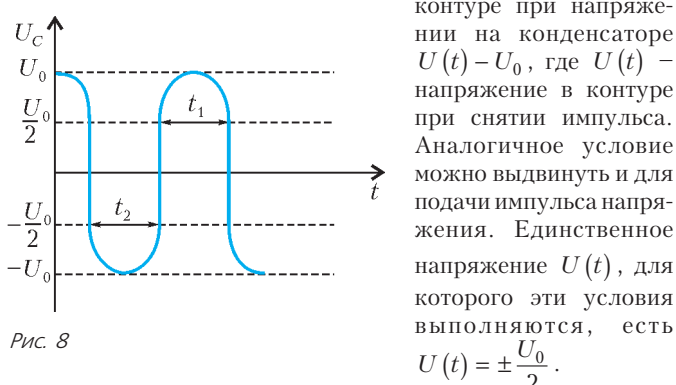
В. Алексеев, А. Жуков



(Начало см. на с. 30)



При подаче импульса напряжения на внутренний конденсатор резко изменяется на ту же величину напряжение на внешних обкладках, и в контуре начинаются свободные электрические колебания с амплитудой U_0 . Для того чтобы амплитуда колебаний оставалась неизменной и после снятия импульса, необходимо, чтобы ток в цепи до снятия импульса равнялся току в свободно колеблющемся



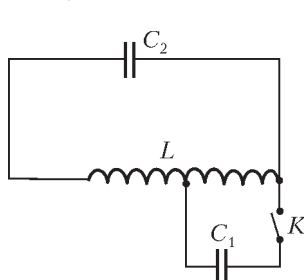
Нарисуем теперь зависимость напряжения на конденсаторе от времени на графике (рис.8). Ясно, что

$$t_1 = t_2 = 2 \frac{1}{\omega} \arccos \frac{1}{2}, \text{ где } \omega = \frac{1}{\sqrt{LC}},$$

или

$$t_1 = t_2 = \frac{T}{3}, \text{ где } T = 2\pi\sqrt{LC}.$$

Задача 5. Из катушки индуктивностью L , намотанной на сердечник с большой магнитной проницаемостью, и двух конденсаторов емкостью C_1 и C_2 собрана схема, изображенная на рисунке 9. Один из конденсаторов подключен к половине катушки. В начальный момент времени ток через катушку отсутствует, напряжение на конденсаторе емкостью C_1 равно U_0 , а конденсатор емкостью C_2 не заряжен. Нарисуйте график зависимости напряжения на верхнем конденсаторе от времени после замыкания ключа K .



Считать, что $C_1 = C_2 = C$.

Магнитный поток через любой виток катушки один и тот же (нет рассеяния магнитного потока), поэтому напряжение U_2 на конденсаторе емкостью C_2 всегда в два раза больше напряжения U_1 на конденсаторе емкостью C_1 :

$$U_2 = 2U_1.$$

В начальный момент, т.е. сразу после замыкания ключа, заряды на конденсаторах перераспределяются так, чтобы удовлетворить закону сохранения заряда и записанному

соотношению между напряжениями. Таким образом, если U_0^* — новое напряжение на первом конденсаторе, а U_0^{**} — на втором, то

$$CU_0 = CU_0^* + CU_0^{**} = CU_0^* + 2CU_0^* = 3CU_0^*.$$

Отсюда

$$U_0^* = \frac{1}{3}U_0, \quad U_0^{**} = \frac{2}{3}U_0.$$

Поскольку

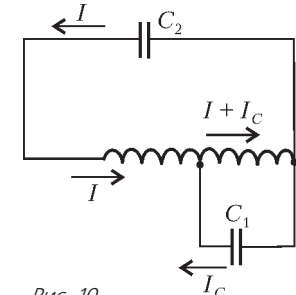
$$I_{C_2} = \frac{dq_2}{dt} = \frac{1}{C} \frac{dU_2}{dt} \text{ и } I_{C_1} = \frac{1}{C} \frac{dU_1}{dt},$$

то (рис.10)

$$I_{C_2} = I = 2I_{C_1} = 2I_C.$$

Суммарный магнитный поток Φ через все витки равен сумме потоков Φ_1 и Φ_2 через витки левой и правой частей катушки соответственно:

$$\Phi = \Phi_1 + \Phi_2 = \frac{L}{2}I + \frac{L}{2}(I + I_C) = \\ = \frac{L}{2}(2I + I_C) = \frac{5}{4}LI.$$



Учитывая, что

$$\frac{d\Phi}{dt} = -\frac{q_2}{C_2} = -U_2,$$

получаем

$$\frac{d_2U_2}{dt^2} = -\frac{4}{5LC}U_2.$$

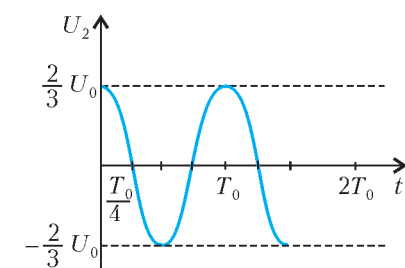
Это уравнение описывает гармонические колебания с частотой $\omega_0 = \frac{2}{\sqrt{5LC}}$. В начальный момент ($t = 0$) $U_2 = \frac{2}{3}U_0$, поэтому окончательно напряжение на верхнем конденсаторе изменяется со временем по закону

$$U_2 = \frac{2}{3}U_0 \cos \omega_0 t.$$

Период этих колебаний равен

$$T_0 = \frac{2\pi}{\omega_0} = \pi\sqrt{5LC}.$$

График функции $U_2(t)$ представлен на рисунке 11.



Таким образом, рассматриваемая система эквивалентна стандартному колебательному контуру с той же индуктивностью L , но с емкостью, равной $\frac{5}{4}C$. Напряжение на катушке эквивалентного контура в начальный момент равно $\frac{2}{3}U_0$.

Упражнения

- Конденсаторы, емкости которых C и $2C$, заряжены каждый до напряжения U_0 и соединены последовательно «минусом» к «плюсу». К ним одновременно подключают две катушки: катушку индуктивностью L к конденсатору большей емкости и катушку индуктивностью $2L$ к конденсатору меньшей емкости.

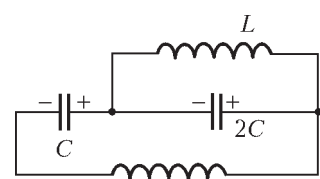


Рис. 12

$2L$ к разноименным концам батареи конденсаторов (рис.12). Найдите максимальный ток каждой из катушек. Через какое время после включения ток первой катушки станет максимальным?

2. Перемычка массой m лежит на горизонтально расположенных рельсах перпендикулярно им (рис.13). Вертикальная составляющая магнитного поля равна B . Катушка индуктивностью L подключена к рельсам. Расстояние между рельсами d .

Начальная скорость перемычки равна v_0 и направлена к катушке. Пренебрегая сопротивлением проводников и считая, что перемычка движется поступательно, определите зависимость ее скорости от времени.

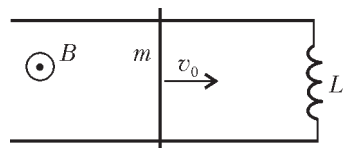


Рис. 13

Об одном случае расположения сферы и пирамиды

В.МИРОШИН

СРЕДИ МНОЖЕСТВА РАЗЛИЧНЫХ СЛУЧАЕВ РАСПОЛОЖЕНИЯ сферы и пирамиды мы рассмотрим только один – тот, когда сфера касается боковых граней пирамиды в точках, лежащих на ребрах основания. Задача, послужившая прототипом множества подобных задач, более трудоемких, но не более трудных, появилась в 1995 году на вступительном экзамене по математике на механико-математическом факультете МГУ.

Обычно рассматривают случаи касания сферы отдельно с плоскостями граней, отдельно с ребрами пирамиды, а тут – все вместе, что как раз и представляется интересным.

Задача 1 (мехмат МГУ, 1995 г.). Высота пирамиды равна 5, а основанием служит треугольник со сторонами 7, 8, 9. Некоторая сфера касается плоскостей всех боковых граней пирамиды в точках, лежащих на сторонах основания. Найдите радиус сферы.

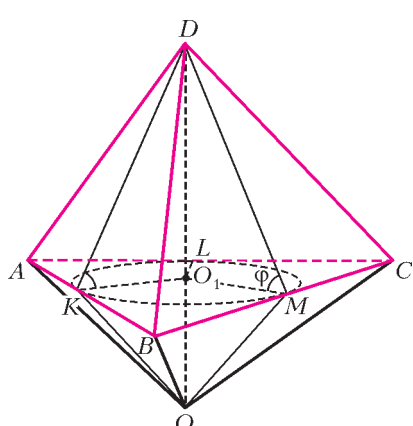


Рис. 1

Решение. Обозначим центр сферы O и рассмотрим пирамиду $OABC$, «пристроенную» к исходной пирамиде $ABCD$ (рис.1).

Стороны треугольника ABC касаются сферы, следовательно, сечение сферы плоскостью (ABC) есть окружность, вписанная в треугольник основания.

Радиусы сферы OK , OL , OM , проведенные в точки касания, игра-

ют в пирамиде $OABC$ роль апофем. Так как они равны, то грани пирамиды $OABC$ одинаково наклонены к плоскости основания, и, таким образом, высота пирамиды $OABC$, совпадающая с отрезком перпендикуляра, проведенного из центра сферы на секущую плоскость, попадает в центр окружности O_1 , вписанной в треугольник ABC .

Сфера касается не только сторон основания, но и боковых граней пирамиды $DABC$ в тех же точках. Поэтому по признаку перпендикулярности плоскостей получим, что грани двух рассматриваемых пирамид, имеющие общее ребро, попарно перпендикулярны:

$$(OAB) \perp (DAB), (OAC) \perp (DAC), (OBC) \perp (DBC).$$

Но тогда (и именно в этом состоит вся изюминка данного способа касания сферы и пирамиды) боковые грани пирамиды $DABC$ также одинаково наклонены к плоскости основания. Поэтому и высота пирамиды $DABC$ также попадет в центр окружности, вписанной в треугольник ABC . Кроме того, основания апофем боковых граней пирамиды $DABC$ совпадут с точками касания сферы с соответствующими ребрами основания пирамиды.

Таким образом, при указанном расположении сферы и пирамиды центр сферы O , вершина пирамиды D и центр окружности O_1 , вписанной в основание, лежат на одном перпендикуляре, проведенном к плоскости основания пирамиды. Этот перпендикуляр DO , радиус сферы OK и апофема DK боковой грани пирамиды – стороны прямоугольного треугольника, в котором высотой, проведенной к гипотенузе, служит радиус сферы R окружности, вписанной в основание (рис. 2).

На этом рисунке показаны также угол наклона боковых граней пирамиды $DABC$ к плоскости основания φ , высота пирамиды H , искомый радиус сферы R и радиус вписанной в основание окружности r .

Теперь можно перейти к вычислениям. По формуле Герона площадь основания пирамиды равна $S = \sqrt{12 \cdot 5 \cdot 4 \cdot 3} = 12\sqrt{5}$.

Величину r найдем, используя формулу $r = \frac{S}{p}$, где p – полупериметр основания: $r = \sqrt{5}$. Отсюда $\tan \varphi = \frac{H}{r} = \sqrt{5}$, $\sin \varphi = \frac{\sqrt{5}}{\sqrt{6}}, R = \frac{r}{\sin \varphi} = \sqrt{6}$.

Ответ: $\sqrt{6}$.

Минимум вычислений при максимуме идей!

Задача, видимо, так понравилась, что уже через три года она была повторена, однако в гораздо более сложном варианте.

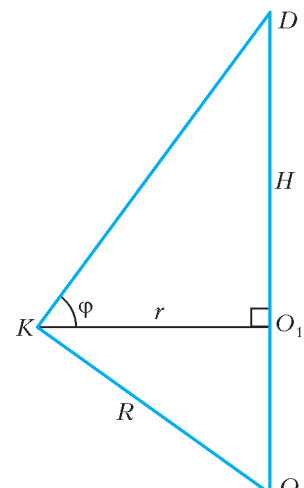


Рис. 2

Задача 2 (мехмат МГУ, 1998 г.). Данна пирамида $ABCD$. Сфера касается граней DAB , DAC , DBC в точках K , L , M соответственно. При этом точка K находится на стороне AB , точка L – на стороне AC , точка M – на стороне BC . Известно, что радиус сферы равен 3, $\angle ADB = 90^\circ$, $\angle BDC = 105^\circ$, $\angle ADC = 75^\circ$. Найдите объем пирамиды.

Решение. Как мы видим, условие в основной части, относящейся к расположению пирамиды и сферы, повторяет условие предыдущей задачи. Поэтому расположение вершины пирамиды, центра вписанной окружности и центра сферы такое же, как в предыдущей задаче (рис. 3). Аналогично

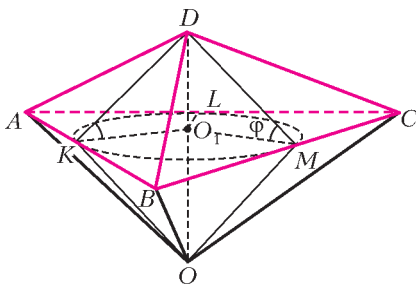


Рис. 3

получаем, что грани пирамиды одинаково наклонены к плоскости основания пирамиды. И в данной задаче именно этот факт играет определяющую роль.

Двугранные углы пирамиды являются элементами трехгранных ее углов с вершинами в вершинах основания. Изучение тригонометрии трехгранных углов не входит в курс общеобразовательной школы, однако знакомство с ней повысит математическую эрудицию абитуриентов и существенно облегчит решение некоторых стереометрических задач.

Приведем основные определения и теоремы, связанные с тригонометрией трехгранных углов.

Трехгранным углом называется фигура, образованная тремя лучами SA , SB , SC , исходящими из точки S (рис. 4). Точка S называется вершиной трехгранных углов, лучи SA , SB , SC – его ребрами, плоские углы ASB , ASC , BSC – его гранями.

Основными элементами трехгранных углов являются плоские углы $\angle BSC = \alpha$, $\angle ASC = \beta$, $\angle ASB = \gamma$, а также противолежащие им двугранные углы A , B , C , ребрами которых являются лучи SA , SB , SC соответственно.

В тригонометрии трехгранных углов используются в основном три теоремы: теорема синусов и две теоремы косинусов.

Теорема синусов. Синусы плоских углов трехгранных углов пропорциональны синусам противолежащих им двугранных углов трехгранных углов:

$$\frac{\sin \alpha}{\sin A} = \frac{\sin \beta}{\sin B} = \frac{\sin \gamma}{\sin C}.$$

Следствие. Если двугранные углы трехгранных углов равны, то противолежащие им плоские углы трехгранных углов либо равны, либо дополняют друг друга до 180° .

Первая теорема косинусов. Косинус плоского угла трехгранных углов равен произведению косинусов двух других плоских углов, сложенному с произведением синусов этих углов на косинус двугранного угла, противолежащего иско-

мому плоскому:

$$\cos \alpha = \cos \beta \cos \gamma + \sin \beta \sin \gamma \cos A.$$

Вторая теорема косинусов. Косинус двугранного угла трехгранных углов равен произведению косинусов двух других двугранных углов, взятому с противоположным знаком, плюс произведение синусов этих углов на косинус плоского угла, противолежащего данному двугранному:

$$\cos A = -\cos B \cos C + \sin B \sin C \cos \alpha.$$

Вернемся к решению задачи. Из ее условия и следствия из теоремы синусов для трехгранных углов вытекает, что $\angle DAB = \angle DAC$, так как оба эти угла острые, а противолежащие им двугранные углы при ребрах AB и AC равны. Аналогично, $\angle DCA = \angle DCB$, $\angle DCB = \angle DBA$.

Обозначим $\angle DAB = \angle DAC = \alpha$, $\angle DCA = \angle DCB = \gamma$, $\angle DCB = \angle DBA = \beta$. Рассматривая сумму углов всех боковых граней пирамиды, получаем, что $2\alpha + 2\beta + 2\gamma = 3\pi - \frac{3\pi}{2} = \frac{3\pi}{2}$, откуда $\alpha + \beta + \gamma = \frac{3\pi}{4}$. Теперь можно определить каждый из углов:

$$\alpha = \frac{\pi}{3}, \quad \beta = \frac{\pi}{6}, \quad \gamma = \frac{\pi}{4}.$$

Обозначим апофему боковой грани пирамиды h , а угол наклона боковой грани пирамиды к плоскости ее основания ϕ . Далее проведем простые выкладки:

$$h = R \operatorname{tg} \phi, \quad H = h \sin \phi = R \operatorname{tg} \phi \sin \phi,$$

$$p = h(\operatorname{ctg} \alpha + \operatorname{ctg} \beta + \operatorname{ctg} \gamma) = R \operatorname{tg} \phi (\operatorname{ctg} \alpha + \operatorname{ctg} \beta + \operatorname{ctg} \gamma),$$

$$S_{\text{бок}} = ph = R^2 \operatorname{tg}^2 \phi (\operatorname{ctg} \alpha + \operatorname{ctg} \beta + \operatorname{ctg} \gamma),$$

$$V = \frac{1}{3} S_{\text{бок}} H = \frac{1}{3} R^3 \operatorname{tg}^3 \phi \cos \phi \sin \phi (\operatorname{ctg} \alpha + \operatorname{ctg} \beta + \operatorname{ctg} \gamma) =$$

$$= \frac{1}{3} R^3 \operatorname{tg}^2 \phi \sin^2 \phi (\operatorname{ctg} \alpha + \operatorname{ctg} \beta + \operatorname{ctg} \gamma) =$$

$$= \frac{1}{3} R^3 \left(\frac{1 - \cos^2 \phi}{\cos \phi} \right)^2 (\operatorname{ctg} \alpha + \operatorname{ctg} \beta + \operatorname{ctg} \gamma).$$

Таким образом, все сводится к нахождению косинуса угла наклона боковой грани к основанию пирамиды.

Сначала найдем косинус какого-нибудь угла треугольника ABC , например угла ACB (обозначим его $\angle C$). Имеем:

$$AB = h(\operatorname{ctg} \alpha + \operatorname{ctg} \beta) = h \left(\frac{1}{\sqrt{3}} + \sqrt{3} \right),$$

$$BC = h(\operatorname{ctg} \beta + \operatorname{ctg} \gamma) = h(\sqrt{3} + 1),$$

$$AC = h(\operatorname{ctg} \alpha + \operatorname{ctg} \gamma) = h \left(\frac{1}{\sqrt{3}} + 1 \right).$$

Воспользовавшись теоремой косинусов

$$AB^2 = AC^2 + BC^2 - 2AC \cdot BC \cdot \cos \angle C,$$

получим

$$\frac{16}{3} = \frac{1}{3} (\sqrt{3} + 1)^2 + (\sqrt{3} + 1)^2 - \frac{2}{\sqrt{3}} (\sqrt{3} + 1)^2 \cos \angle C,$$

откуда

$$\cos \angle C = 4 - 2\sqrt{3} = (\sqrt{3} - 1)^2.$$

Теперь, наконец, можно определить косинус двугранного угла при основании пирамиды. Воспользуемся первой теоремой косинусов для трехгранного угла. Имеем:

$$\cos \gamma = \cos \gamma \cos \angle C + \sin \gamma \sin \angle C \cos \phi.$$

А так как $\gamma = \frac{\pi}{4}$, то

$$\cos \phi = \frac{1 - \cos \angle C}{\sin \angle C} = \operatorname{tg} \frac{\angle C}{2} = \sqrt{\frac{1 - \cos \angle C}{1 + \cos \angle C}} = \sqrt{\frac{4\sqrt{3} - 3}{13}}.$$

Осталось сделать подстановку найденных величин в формулу для объема пирамиды. После очевидных арифметических выкладок получаем ответ.

Ответ: $V = 48$.

И, наконец, задача, сравнительно недавно предлагавшаяся на вступительном экзамене в МФТИ.

Задача 3 (МФТИ, 2005 г.). Сфера касается боковых граней четырехугольной пирамиды $SABCD$ в точках, лежащих на ребрах AB , BC , CD , DA (рис 5). Известно, что высота пирамиды равна $2\sqrt{5}$, $AB = 6$, $SA = 5$, $SB = 7$, $SC = 2\sqrt{10}$. Найдите длины ребер BC и CD , радиус сферы и двугранный угол при ребре SD .

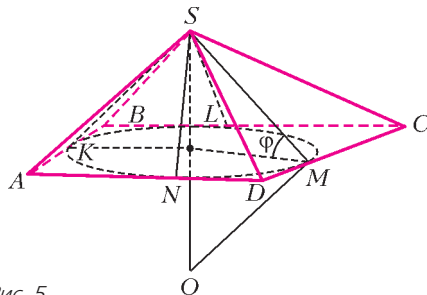


Рис. 5

Решение. Используем результаты предыдущих задач. Поскольку в основание пирамиды можно вписать окружность, то четырехугольник $ABCD$ – описанный около окружности. Так как все апофемы равны, то боковые грани одинаково наклонены к плоскости основания пирамиды. Центр сферы, центр вписанной окружности и вершина пирамиды расположены на одном перпендикуляре к плоскости основания.

Найдем радиус сферы. Так как в треугольнике ASB известны длины всех сторон: 5, 6, 7, то по формуле Герона площадь треугольника равна $\sqrt{9 \cdot 2 \cdot 3 \cdot 4} = 6\sqrt{6}$. Значит,

длина апофемы $h = 2\sqrt{6}$. Радиус окружности, вписанной в четырехугольник $ABCD$, равен $r = \sqrt{h^2 - H^2} = \sqrt{24 - 20} = 2$. Находим синус угла наклона боковой грани к плоскости основания пирамиды: $\sin \phi = \frac{2\sqrt{5}}{2\sqrt{6}} = \frac{\sqrt{5}}{\sqrt{6}}$. Отсюда $R = \frac{r}{\sin \phi} = 2\sqrt{\frac{6}{5}}$.

Определяя радиус сферы, мы попутно нашли апофему и радиус вписанной окружности. Применяя теперь последовательно теорему Пифагора и свойства касательных, проведенных из одной точки к окружности, получим

$$AK = AN = \sqrt{SA^2 - h^2} = \sqrt{25 - 24} = 1,$$

$$BK = BL = 5,$$

$$CL = CM = 4.$$

Таким образом, длина ребра $BC = 9$.

Найдем величину тригонометрических функций угла D четырехугольника $ABCD$. Во-первых, используя радиус вписанной окружности и отрезки касательных, получим

$\operatorname{tg} \frac{A}{2} = 2$, $\operatorname{tg} \frac{B}{2} = \frac{2}{5}$, $\operatorname{tg} \frac{C}{2} = \frac{1}{2}$. Следовательно, $\frac{A}{2} + \frac{C}{2} = \frac{\pi}{2}$, откуда $\frac{B}{2} + \frac{D}{2} = \frac{\pi}{2}$. Таким образом,

$$\operatorname{tg} \frac{D}{2} = \frac{5}{2}, \quad \cos D = \frac{1 - \operatorname{tg}^2 \frac{D}{2}}{1 + \operatorname{tg}^2 \frac{D}{2}} = -\frac{21}{29}, \quad \sin D = \frac{20}{29}.$$

Для нахождения длины ребра CD достаточно найти длину отрезка MD . Но $\frac{r}{MD} = \operatorname{tg} \frac{D}{2} = \frac{5}{2}$, откуда

$$MD = \frac{4}{5} \text{ и } CD = 4,8.$$

Рассмотрим $\angle SDA$ и $\angle SDC$. Так как противолежащие им двугранные углы равны и проекция ребра SD есть биссектриса угла D , то указанные углы также равны. Обозначая эти углы α , по первой теореме косинусов трехгранного угла имеем

$$\cos \alpha = \cos \alpha \cos D + \sin \alpha \sin D \cos \phi \Rightarrow \operatorname{tg} \alpha = \frac{1 - \cos D}{\sin D \cos \phi}.$$

Подставляя известные значения, получим, что $\operatorname{tg} \alpha = \frac{5}{2}\sqrt{6}$. Двугранный угол ψ при ребре SD противолежит плоскому углу D , поэтому по первой теореме косинусов получим

$$\cos D = \cos^2 \alpha + \sin^2 \alpha \cos \psi = \frac{1}{1 + \operatorname{tg}^2 \alpha} + \frac{\operatorname{tg}^2 \alpha}{1 + \operatorname{tg}^2 \alpha} \cos \psi,$$

или

$$-\frac{21}{29} = \frac{4}{34} + \frac{30}{34} \cos \psi \Rightarrow \cos \psi = -\frac{67}{87},$$

и

$$\psi = \arccos \left(-\frac{67}{87} \right) = \pi - \arccos \frac{67}{87}.$$

Ответ: $R = 2\sqrt{\frac{6}{5}}$; $BC = 9$; $CD = 4,8$; $\psi = \pi - \arccos \frac{67}{87}$.

Упражнения

1 (мехмат МГУ, 1995 г.). Некоторая сфера радиуса $\sqrt{3}$ касается плоскостей всех боковых граней пирамиды в точках, лежащих на сторонах основания. Основанием служит треугольник со сторонами 5, 6, 9. Найдите высоту пирамиды.

2 (мехмат МГУ, 1998 г.). Данна пирамида $ABCD$. Сфера касается граней ABC , ACD , ADB в точках K , L , M соответственно. При этом точка K находится на стороне BC , точка L – на стороне CD , точка M – на стороне DB . Известно, что радиус сферы равен $\sqrt{3}$, $\angle BAC = 90^\circ$, $\angle CAD = 75^\circ$, $\angle DAB = 75^\circ$. Найдите объем пирамиды.

3 (МФТИ, 2005 г.). Сфера касается боковых граней четырехугольной пирамиды $SABCD$ в точках, лежащих на ребрах AB , BC , CD , DA . Известно, что высота пирамиды равна $\sqrt{6}$, $AB = 8$, $SA = 4$, $SB = 8$, $SC = 4\sqrt{6}$. Найдите длины ребер BC и CD , радиус сферы и двугранный угол при ребре SD .